

傾斜面上に築造されるマサ土盛土斜面の安定計算

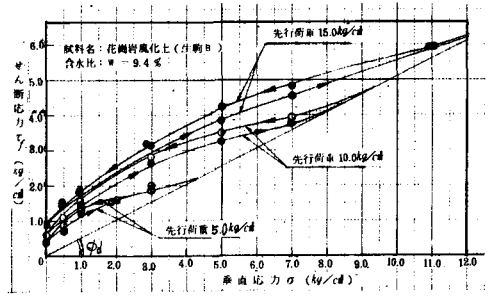
大阪工業大学 正員 福田 護
 (株)武智工務所 正員 藤原 一薫
 大阪工業大学 学正員 小川 敬次郎

1. まえがき

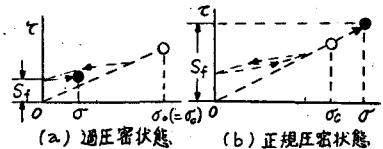
土を締固めることによって、より強固な盛土の造成が可能なのは周知のとおりである。従来、盛土斜面の安定性の検討、とりわけマサ土のような風化砂質土の盛土斜面の設計に際しては、経験的な勘にたよるか、あるいは $C=0$, ϕ 法で一般に考えられ、締固め効果を加味した論理的な解析法は未だないようである。筆者らは、締固めによる強さの概念を入れ、堅固な水平地盤上の盛土の安定解析法をさきに報告した⁽¹⁾⁽²⁾。つづき、本報告では堅固な傾斜地盤に築造される盛土斜面の安定解析法と解析例について述べる。

2. 締固めによるせん断強さの増加

図・1 に示すようにマサ土の最大せん断抵抗力 S_f は応力履歴に大きく支配される¹⁾。正規圧密土の破壊包絡線 ($\tau = cf$) は原点を通る直線で $S_f = \sigma \tan \phi_d$, 過圧密土では C , ϕ_d を定数として S_f を求めることはできないが、垂直応力 σ と先行垂直応力 σ_0 の関係からそれを求めることができる。このことを、締固め時ならびに完成後の土中応力状態に対応してみると水平面と角度傾く面の S_f は図・2 のように表わされる。 $S_f = f(\sigma, \sigma_0) \dots (1)$, $\sigma_0 = f(\sigma_{vs}) \dots (2)$ 正規圧密土では $\sigma < \sigma_0$ となり, $\sigma_0 = \sigma_c = f(\sigma_{vs})$, ここにおいて σ_c は締固め時水平面と角度傾く面の垂直応力, また σ_{vs} は締固め荷重 W による鉛直応力である。



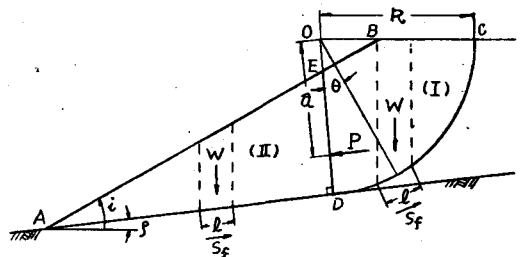
図・1 応力履歴と破壊せん断力



図・2 最大せん断抵抗力 S_f について

3. 解析法

解析は、図・3 に示すように半径 R の地山に接する円弧 \widehat{DC} と直線 \overline{AD} からなる複合スベリとし、分割法で行なう。複合スベリ面 ADC に沿って生ずるスベリに対する安全率を F_s とすれば、土塊(I)において、円弧 \widehat{DC} 部分に対する抵抗モーメントは、弧長を l とすると、 $\sum R \cdot (S_f \cdot l / F_s)$, 滑動モーメントは $\sum R \cdot W \sin \theta$ である。この両者の差が直線 ED に作用する圧力として土塊(II)に、伝えられるとする。作用点は ED の $1/3$ 点とすると、その合力 P は、



図・3 傾斜地盤上に築造される盛土斜面の安定解析

$$P = \frac{R \int_0^{\theta} W \sin \theta - R \int_0^{\theta} (S_f l / F_s)}{a} \dots (3)$$

ここに、 a は円弧の中心から P の作用点までの距離である。次に、土塊(II)の部分で、すべりを起こす力と抵抗する力を等しいとすると、

$$P + \int_0^{\theta} W \sin \theta = \int_0^{\theta} (S_f l / F_s) \dots (4)$$

したがって、(3)(4)式から、 P を消去すれば、安全率 F_s は、

$$F_s = \frac{a \int_0^{\theta} S_f l + R \int_0^{\theta} S_f l}{a \int_0^{\theta} W \sin \theta + R \int_0^{\theta} W \sin \theta} \dots (5)$$

段切を設けない場合、式(5)中 $a \int_0^{\theta} S_f l$ は $a \frac{D}{A} \pi \cos \rho \tan \phi_g$ として表わされる。

$$F_s = \frac{a \frac{D}{A} \pi \cos \rho \cdot \tan \phi_g + R \int_0^{\theta} (S_f l)}{a \int_0^{\theta} W \sin \theta + R \int_0^{\theta} W \sin \theta} \dots (6)$$

ここに、 ϕ_g は段切を設けない場合の盛土と地山接面の最大せん断抵抗角(A-D面では締固めによる強さ増加が期待できないものとする)。

4. 解析結果

(1)解析条件 1) $\rho = 10^\circ$, 2) $\lambda = 29^\circ$ (1割8分) 3) $H = 5, 10, 20^m$
4) $\gamma = 10, 30, 100 \text{ } \gamma/m^2$ 5) $\phi_a = 29^\circ$ 6) $\phi_g = 19, 29^\circ$ 7) $K_n^{(1)}$
= 0.5 8) 締固めは一様に行なわれるものとする($\alpha = 1.0$)。

(2)解析結果

図4に解析結果の一例を示す。 $H = 10^m$, $\rho = 10^\circ$; $\gamma = 30 \text{ } \gamma/m^2$ の条件で、図中の各すべり面に対する「段切あり」と「段切なし」の場合、各すべり面に対する安全係数 R が示されている。両者の F_s の差は大きく、段切を設けることの有効性が明確にわかる。これは、段切により図3中のA-D面の S_f が締固め効果により増加し、盛土の F_s が増大するということである。一方、段切を設けない場合、前述のA-D面の S_f は、締固めによりその増加を期待することはできず、締固め条件に関係なく ϕ_g は一定であるとするのが妥当と考えられ、締固めを強化しても盛土の F_s はあまり増大しないことになる。また、地山表面がなめらかな場合(岩盤のような)および地表面が粗い場合の ϕ_g をそれぞれ $19^\circ, 29^\circ$ とした解析結果をみると、両者の差が 10° あるにもかかわらず F_s の差はあまりない。図5は、 γ, H, F_s の相互関係を示す。

5. あとがき

以上、締固め効果を考慮し、段切の有無に関する斜面安定解析法を述べ、具体的な解析例から、締固めと段切の有効性を検証することができた。

参考文献 1) 福田ほか、土木学会年次講演、Ⅲ-52、(S.51年) 2) 福田ほか、土木学会年次講演、Ⅲ-53、(S.51年)

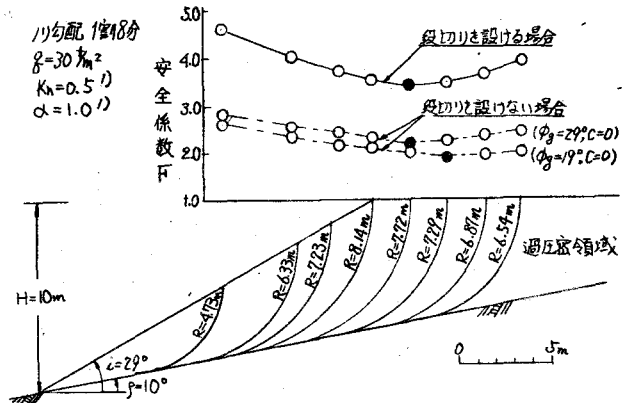


図4 スべり面と安全係数

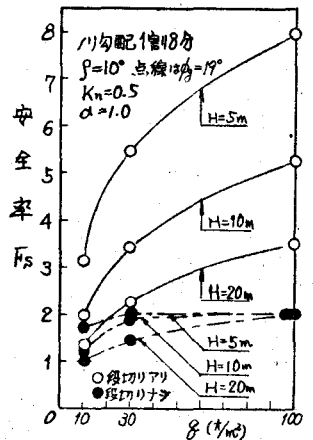


図5 γ, H および F_s の関係